

- шинного оборудования: Учебн. пособ / Под ред. Костюкова, Омск: Изд-во ОмГТУ, 2002 – 108 с.
4. Петрухин В.В. Основы вибродиагностики и средств измерения вибрации: Учебн. пособ. / Петрухин В.В., Петрухин С.В. – М.: Изд-во Инфра-инженерия, 2010 – 176 с.
5. Техническое предложение. Система диагностики и мониторинга состояния роторных машин Спектр-07 (ЗАО «ГСТ») [Электронный ресурс] – URL: <http://www.tst-spb.ru/files/Image/advpics/Spektr07.pdf>.
6. Сидоров А. В. Разработка экспертной системы для оценки технического состояния металлургических машин по параметрам вибрации // Выпускники ДонТУ. [Электронный ресурс] – URL: <http://masters.donntu.edu.ua/2005/mech/sidorov/diss/index.htm>.
7. Сайт лаборатории диагностики оборудования при МГУПП. Обзор современных приборов для вибродиагностики [Электронный ресурс] – URL: http://www.sig-nal.narod.ru/new_page_3.htm.
8. Фаерман В. А., Аврамчук В.С. Применение частотно-временной автокорреляционной функции для повышения эффективности вибродиагностики // СТТ: Сб. трудов – Томск, 2013. – С. 379 – 381.
9. Аврамчук В. С. Определение наличия гармонических составляющих и их частот в дискретных сигналах на основе автокорреляционной функции // Известия Томского политехнического университета. – 2012. – Т. 321. – № 5. – С. 113–116.
10. Аврамчук В.С., Чан Вьет Тьяу. Частотно-временной корреляционный анализ цифровых сигналов // Известия Томского политехнического университета. – 2009. – Т. 315. – № 5. – С. 112–115.
11. Свиридов В.И., Абдулаев А.А. Автоматизация вибродиагностирования энергетического оборудования // Вестник науки Херсонской государственной морской академии. – 2012. – №1(6). – С. 311–316.

ИССЛЕДОВАНИЕ ВАРИАНТОВ ПОСТРОЕНИЯ САР УРОВНЯ В БАРАБАНЕ ПАРОВОГО КОТЛА

Фам Ван Дай

Научный руководитель: Коновалов В.И.
 Томский политехнический университет
 634050, Россия, г. Томск, пр-т Ленина, 30
 E-mail: phamvandaibk@gmail.com

Введение

В процессе эксплуатации котлоагрегата, поддержание уровня воды в барабане парового котла в допустимых пределах весьма важно. Снижение уровня ниже допустимых пределов может привести к нарушению циркуляции в экранных трубах, в результате чего произойдет повышение температуры стенок обогреваемых труб и их пережог. При значительном повышении уровня в барабане возможен заброс воды в занос пароперегревателя солями или поломку турбины [1].

Свойства парового котла как объекта регулирования уровня

На уровень воды в барабане парового котла влияют многие факторы, основными из них являются изменения расходов питательной воды и пара, изменения температуры воды, нагрузки топки и давление в барабане. Особенностью динамики уровня в барабане является явление «набухание». При скачкообразном увеличении подачи питательной воды при неизменной паровой нагрузке, уровень сначала уменьшился, потом восстановился и увеличился. Это явление объясняется тем, что увеличение подачи питательной воды вызывает понижение температуры всей пароводяной смеси и соответственное уменьшение объема пара в барабане котла и циркуляционной системе. При скачкообразном увеличении расхода пара при неизменной подаче питательной воды, уровень

сначала увеличился, потом восстановился и уменьшился.

Для котла с некипящим экономайзером, характер изменения уровня при возмущении расходом питательной воды имеет вид [1]:

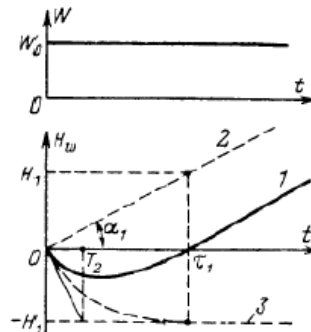


Рис. 1. Характер изменения уровня в барабане котла при возмущении расходом питательной воды

Передаточная функция объекта регулирования имеет вид [1]:

$$W_B(s) = W_1(s) + W_2(s) = \frac{1}{T_1 s} - \frac{K_1}{T_2 s + 1} \quad (1)$$

В процессе построения и расчета САР, считаем, что передаточные функции объекта по расходам воды и пара противоположны по знаку, а равны по величине, т.е.

$$W_P(s) = -W_B(s) \quad (2)$$

По исходным экспериментальным данным, определена передаточная функция объекта по расходу воды:

$$W_B(s) = \frac{1}{60s} - \frac{2}{22,4s + 1} \quad (3)$$

Принципы регулирования уровня в барабане парового котла

По количествам сигналов, поданных в регулятор, имеются 3 принципа регулирования: одноимпульсный, двухимпульсный и трехимпульсный.

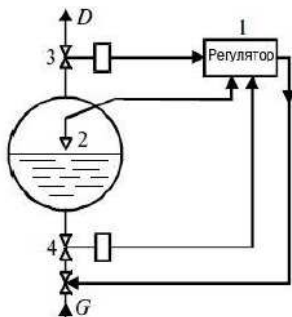


Рис. 2. Принципиальная схема САР уровня

По одноимпульсному принципу регулирования (рис. 2), на вход регулятора 1 поступает только сигнал от уровнемера 2. В двухимпульсном принципе регулирования, на вход регулятора 1 поступает еще опережающий сигнал расхода пара 3. Есть другой вариант, в котором на входе регулятора поступают сигнал от уровнемера 2 и сигнал расхода питательной воды. Трехимпульсный принцип учитывает все сигналы: расхода пара, воды и уровня.

Варианты построения САР уровня

На основе трех вышеперечисленных принципов регулирования, построены следующие варианты САР. Обозначения на схемах САР $W_P(s)$, $W_{II}(s)$, $W_{TP}(s)$, $W_P(s)$, $W_{P1}(s)$, $W_{P2}(s)$, $W_K(s)$ – передаточные функции объекта по расходу воды, по расходу пара, передаточные функции трубопровода, регулятора, ведущего и ведомого регулятора, передаточная функция корректирующего устройства.

1. Вариант 1 по одноимпульсному принципу, это обычная схема САР.

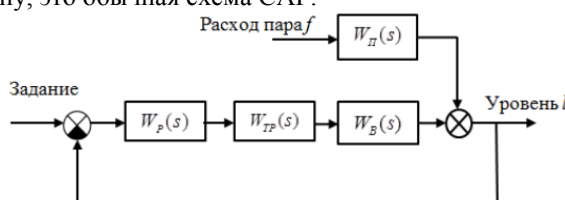


Рис. 3. Первый вариант САР

Используем метод незатухающих колебаний [2] для расчета параметров регулятора.

2. Вариант 2 по двухимпульсному принципу, использующий принцип инвариантности [3]

определения передаточной функции корректирующего устройства.

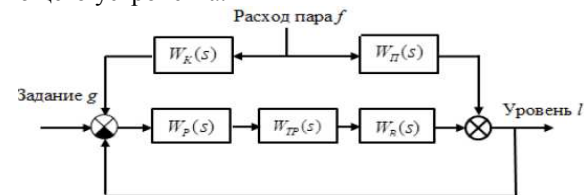


Рис. 4. Второй вариант САР

3. Вариант 3

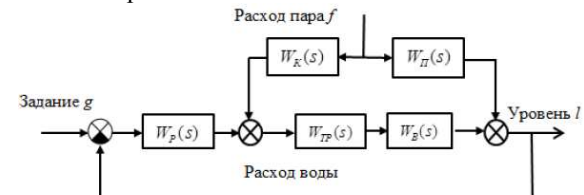


Рис. 4. Третий вариант САР

4. Вариант 4 по двухимпульсному принципу с применением принципа каскадного регулирования для стабилизации расхода воды при изменении давления в трубопроводе. Синтез регуляторов проведен сначала в контуре стабилизации расхода воды, а потом во внешнем контуре.

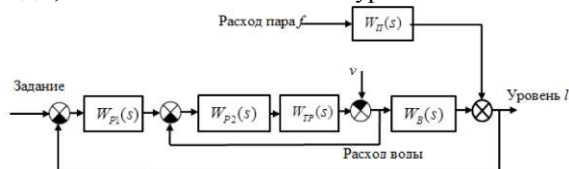


Рис. 5. Четвертый вариант САР

5. Вариант 5 по трехимпульсному принципу

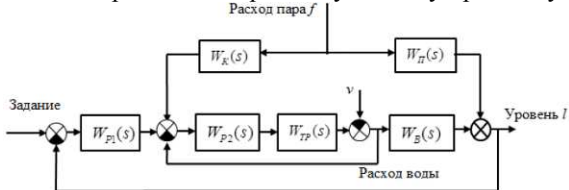


Рис. 6. Пятый вариант САР

6. Вариант 6 по трехимпульсному варианту. Внутренний контур, предназначенный для стабилизации расхода воды, имеет малую инерционность по сравнению с внешним. Поэтому можно рассматривать этот контур как «условный П регулятор» для внешнего контура, коэффициент пропорциональности которого равен коэффициенту передачи внутреннего контура.

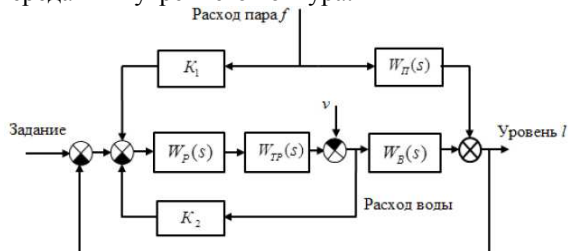


Рис. 7. Шестой вариант САР

Сравнение результатов моделирования

Таблица 1. Качества регулирования по задающему воздействию

Вариант		t_{reg} (с)	σ (%)	ε_{cm}
1,2 и 3 с регулятором	П	439	4,89	0
	ПИ	330	2,38	0
	ПИД	363	2,7	0
4 и 5 с регуляторами ведущим - ведомым	П-ПИ	432	4,66	0
	ПИ-ПИ	338	2,33	0
	ПИД-ПИ	362	2,66	0
6		438	5,09	0

На уровень воды влияют изменения расхода пара и давления в трубопроводе, следует сравнить изменений уровня при ступенчатом увеличении расхода пара и ступенчатом уменьшении расхода воды.

Таблица 2. Изменения уровня при ступенчатом увеличении расхода пара

Вариант		Максимальное отклонение уровня (мм)	ε_{cm} (мм)
1 с регулятором	П	3,5	3,44
	ПИ	3,67	0
	ПИД	3,36	0
2		3,5	3,44
4 и 5		0,02	0
6		0,07	0

КОНЦЕПТУАЛЬНЫЙ ПРОЕКТ DOF-МЕСТОРОЖДЕНИЯ НЕФТИ

Фандикова О.В., Попова Д.А., Громаков Е.И.

Томский политехнический университет
 634050, Россия, г. Томск, пр-т Ленина, 30

E-mail: olafan@sibmail.com

Введение

Digital Oil Field (цифровое нефтяное месторождение) – система автоматизированного управления операциями по добыче нефти и газа, предусматривающая непрерывную оптимизацию интегральной модели месторождения и модели управления добычей. Термин основан на понятии интеллектуального управления, в связи с чем цифровое месторождение также называют интеллектуальным [1]. Целью работы является концептуальное описание проекта DOF.

Принцип работы DOF-месторождения нефти

В первую очередь создание цифрового месторождения означает более широкое применение информационных технологий дистанционного

Таблица 3 Изменения уровня при ступенчатом уменьшении расхода воды из-за возмущения

Вариант		Максимальное отклонение уровня (мм)	ε_{cm} (мм)
1 и 3 с регулятором	П	3,5	3,44
	ПИ	3,67	0
	ПИД	3,36	0
2		3,5	3,44
4 и 5		0,02	0
6		0,07	0

Заключение

Приведенные результаты моделирования показали, что при использовании трехимпульсного принципа (варианты 5 и 6), качество регулирования САР наилучшее. Эти варианты (5 и 6) дают хорошее качество переходного процесса по задающему воздействию и уменьшают до минимума влияния изменений давления в трубопроводе и расхода пара. На практике, варианты 5 и 6 широко применяются.

Литература

- Клоев А.С., Товарнов А.Г., Наладка систем автоматического регулирования котлоагрегатов, М., «Энергия», 1970.
- Токарев В.В., Ягубов З.Х, Приезжаев А.Б, Скабыкин Н.Г. Расчет оптимальных параметров промышленных автоматических систем регулирования. Учебное пособие– Ухта: УГТУ, 2003.
- Ротач В.Я. Теория автоматического управления теплотехническими процессами. –М.: «Энергоавтомиздат», 1985.

управления с целью содействия в разведке и добывче нефти.

Одна из главных особенностей – это интеграция информации от оптоволоконных датчиков температуры и давления по всему месторождению (преимущественно под землей), которые подключаются к станциям управления на поверхности [3]. Информация от этих станций, а также от средств КИПиА поступает на промышленный логический контроллер (ПЛК) и обрабатывается им. Далее обработанная информация посредством радиоканала отправляется в служебно-эксплуатационный блок (СЭБ) АРМ диспетчера, где данные о параметрах измерения передаются и загружаются в компьютерные модели оптимизации, которые позволяют инженерам видеть в режиме реального времени (а также в виде трехмерных изображе-